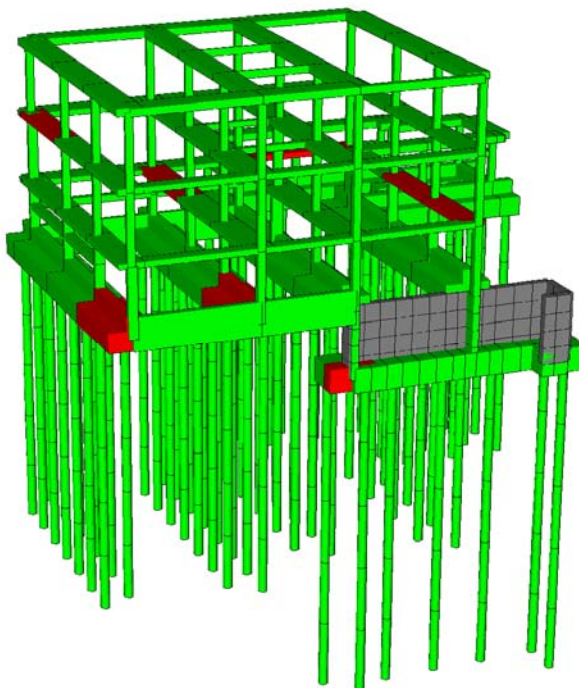
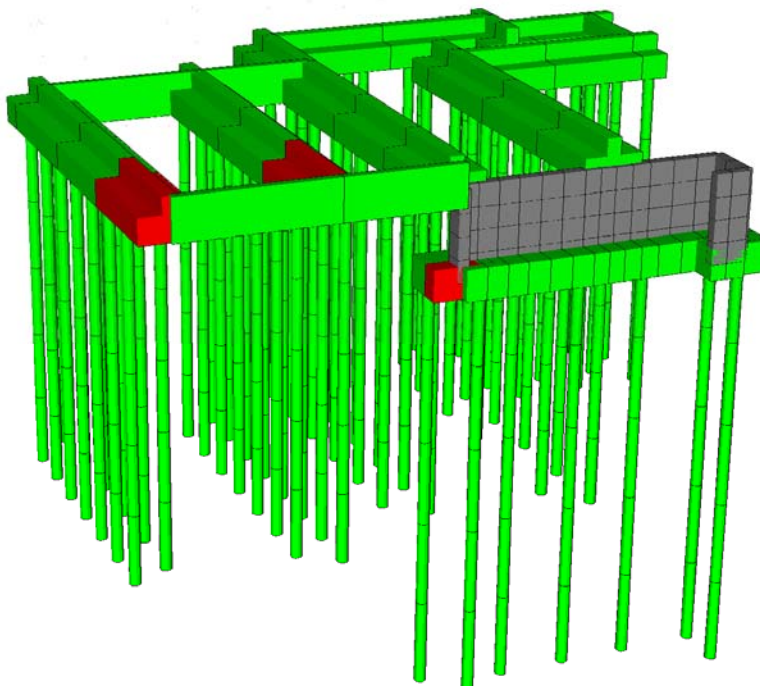


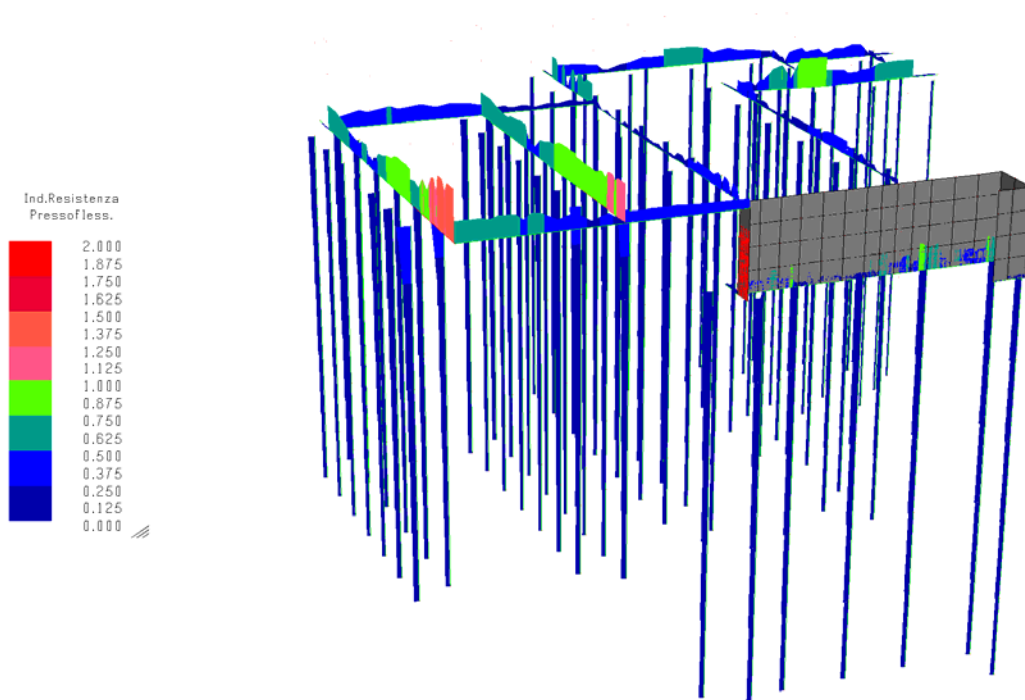
CORPO 3: elementi non verificati per le condizioni statiche slu



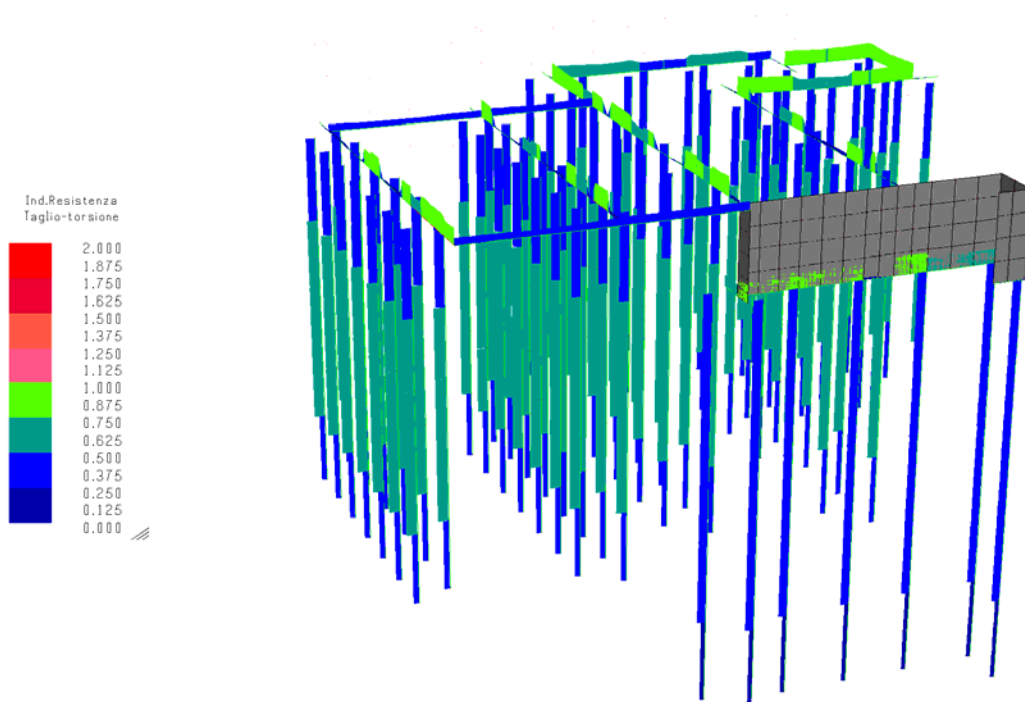
CORPO 3: elementi di dettaglio fondazione non verificati per le condizioni statiche slu



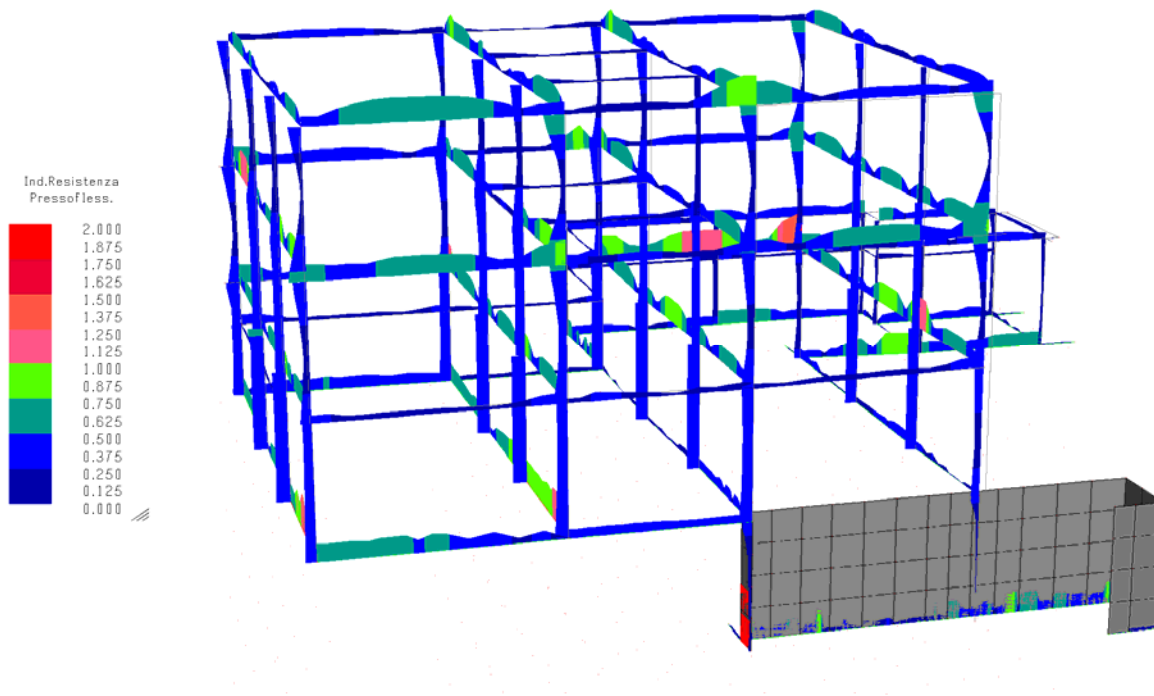
CORPO 3: indici di resistenza a pressoflessione per condizioni statiche slu: fondazione e pali



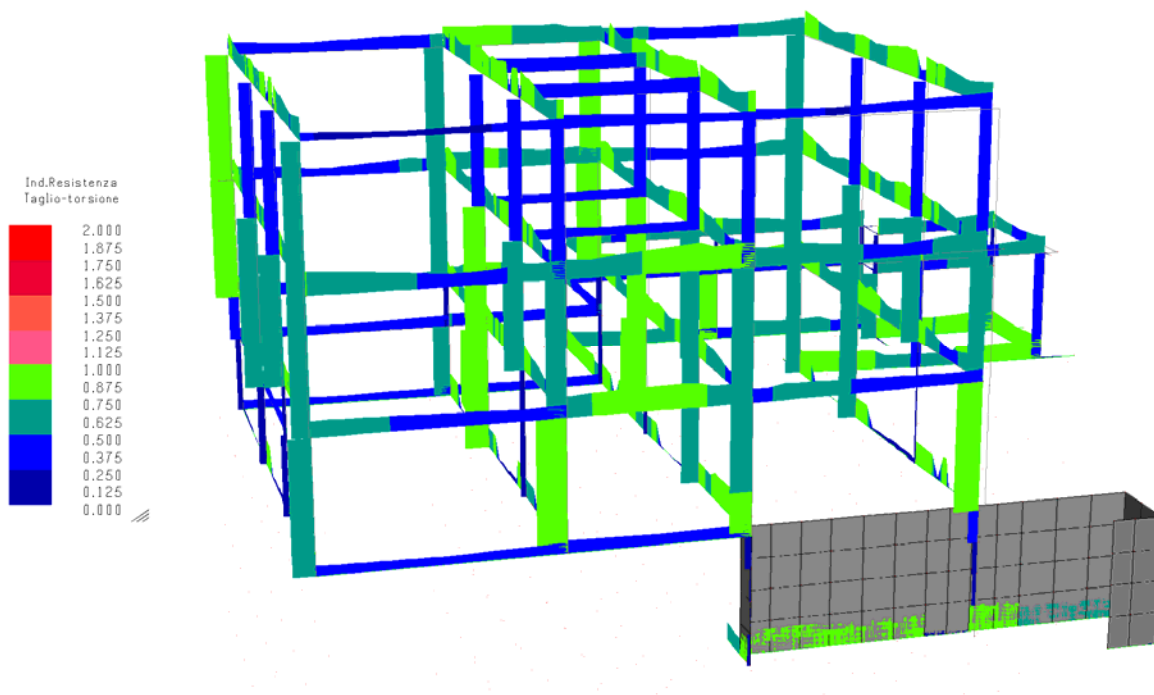
CORPO 3: indici di resistenza a taglio-torsione condizioni statiche slu: fondazione e pali



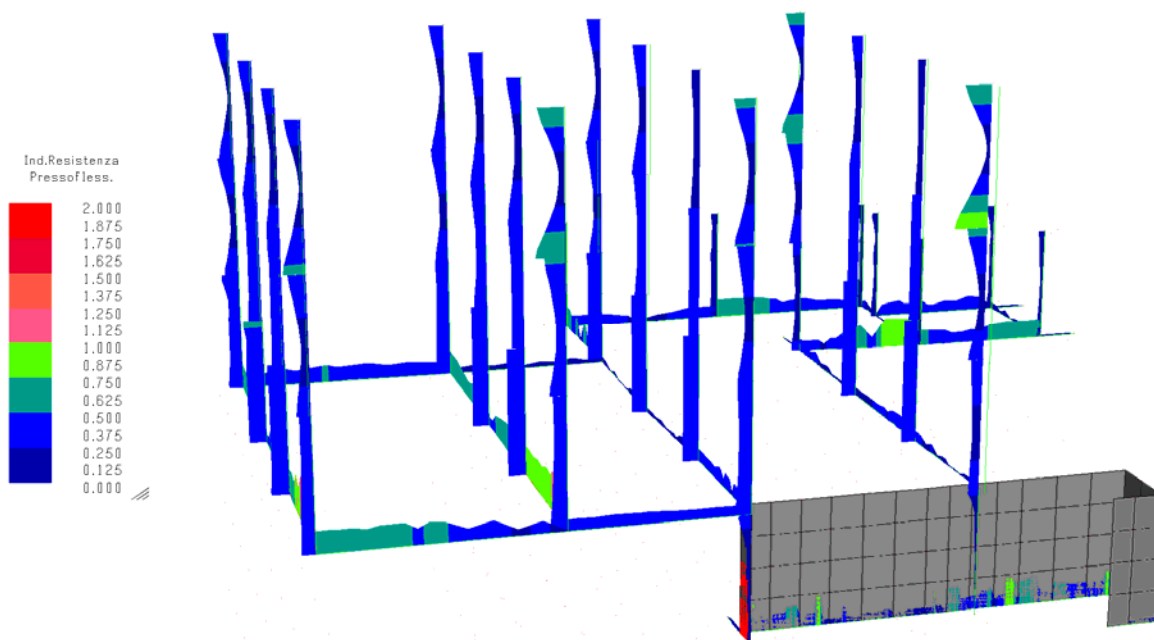
CORPO 3: indici di resistenza a pressoflessione condizioni statiche slu: elevazione



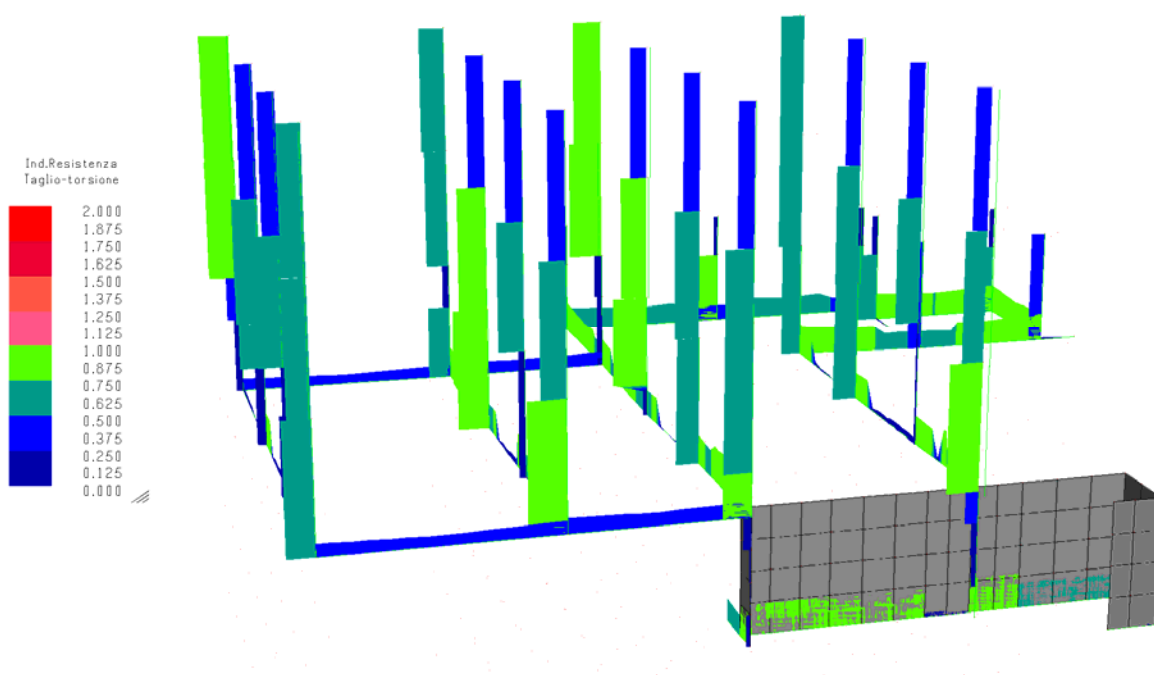
CORPO 3: indici di resistenza a taglio-torsione condizioni statiche slu: elevazione



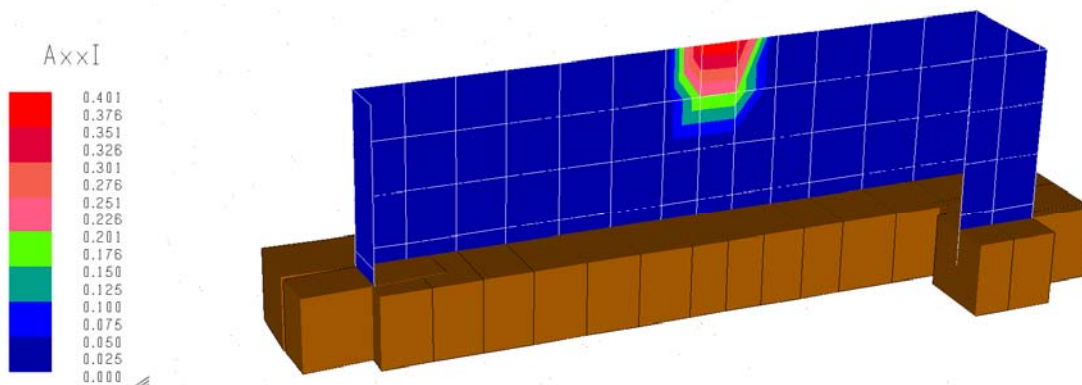
CORPO 3: indici di resistenza di dettaglio a pressoflessione dei pilastri condizioni statiche slu



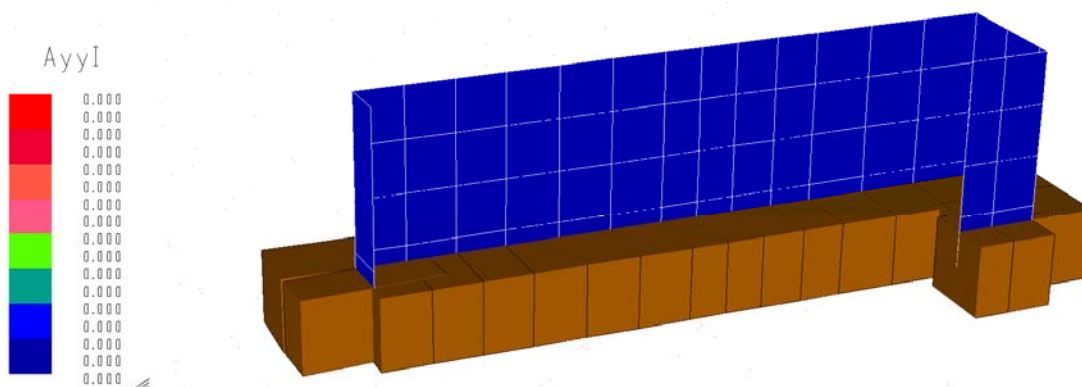
CORPO 3: indici di resistenza di dettaglio a taglio-torsione dei pilastri condizioni statiche slu



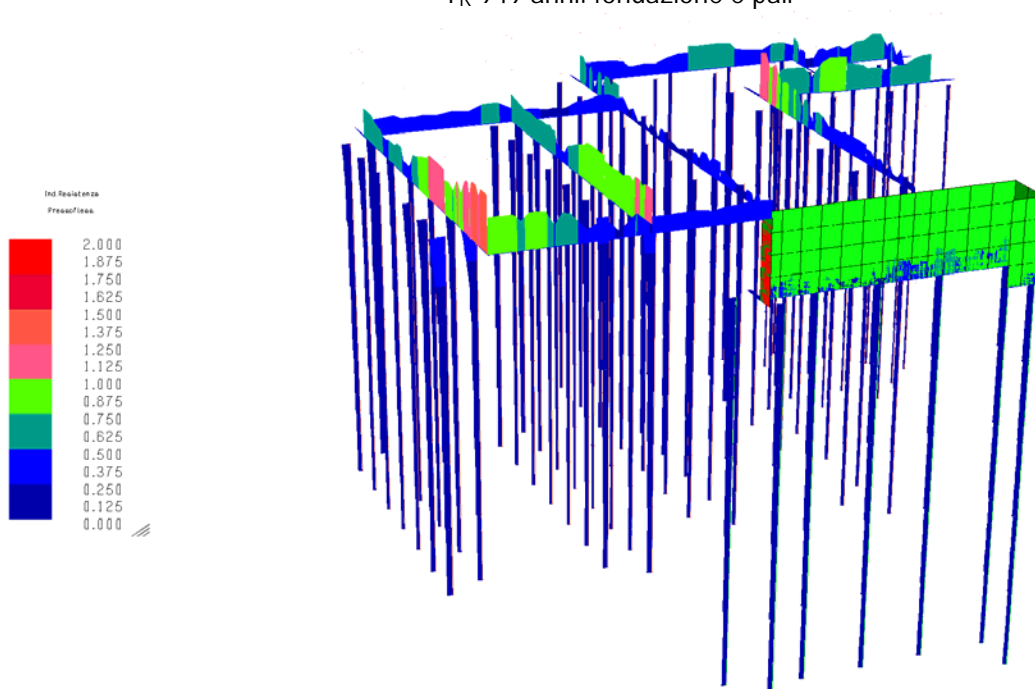
CORPO 3: armatura aggiuntiva orizzontale parete c.a. rispetto alle armature esistenti:condizioni statiche slu



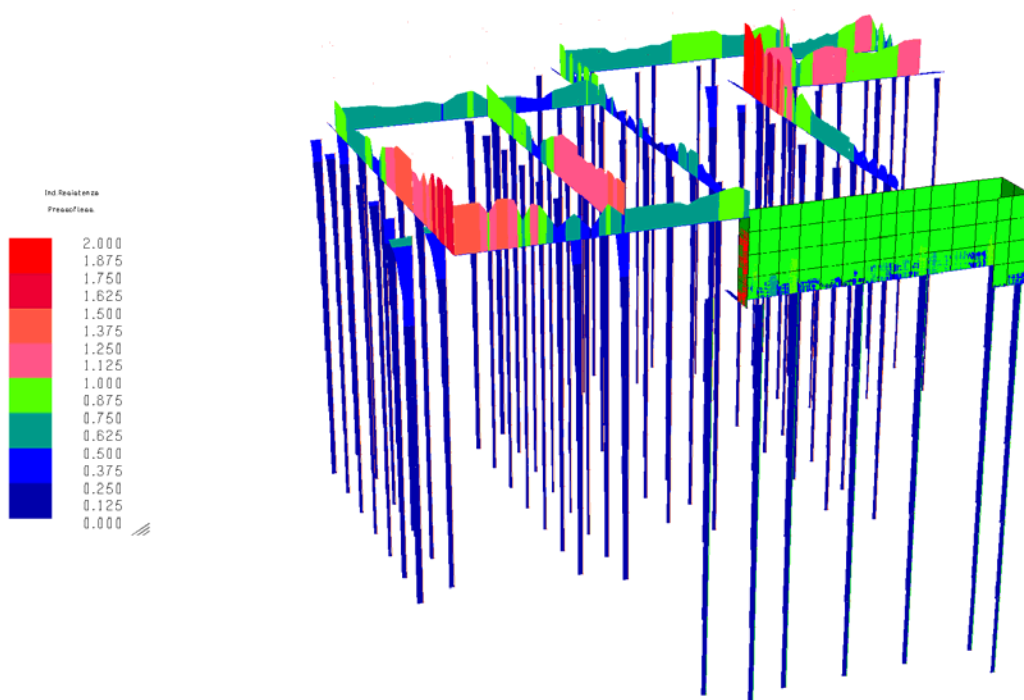
CORPO 3: armatura aggiuntiva verticale parete c.a. rispetto alle armature esistenti: condizioni statiche su



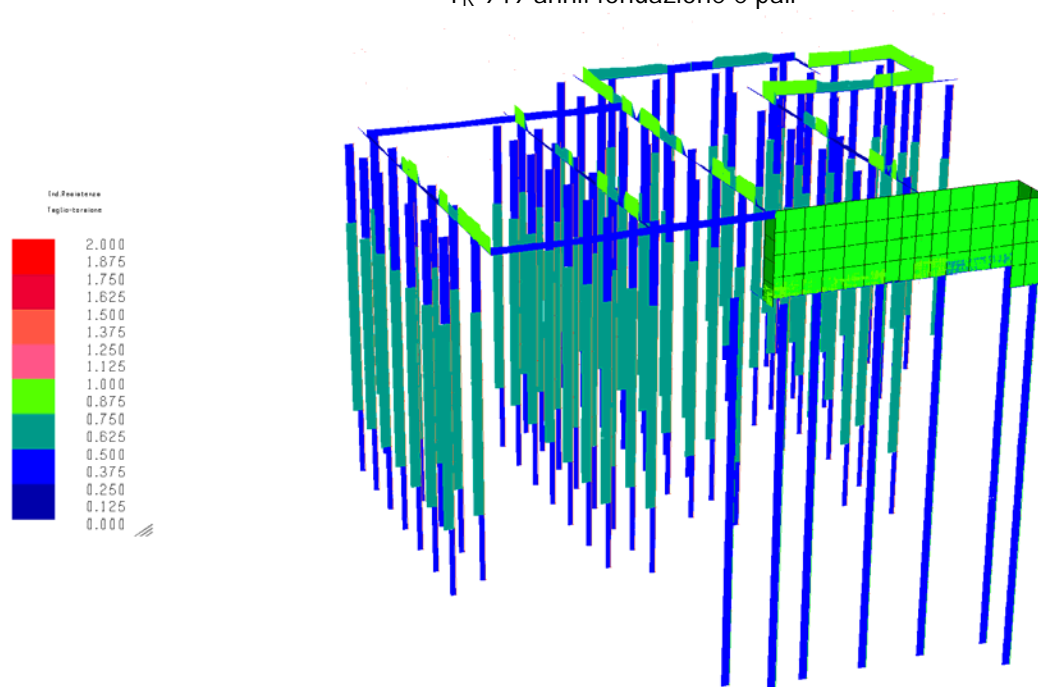
CORPO 3: indici di resistenza slv pressoflessione meccanismi duttili ($q=3.0$) analisi dinamica lineare
 T_R 949 anni: fondazione e pali



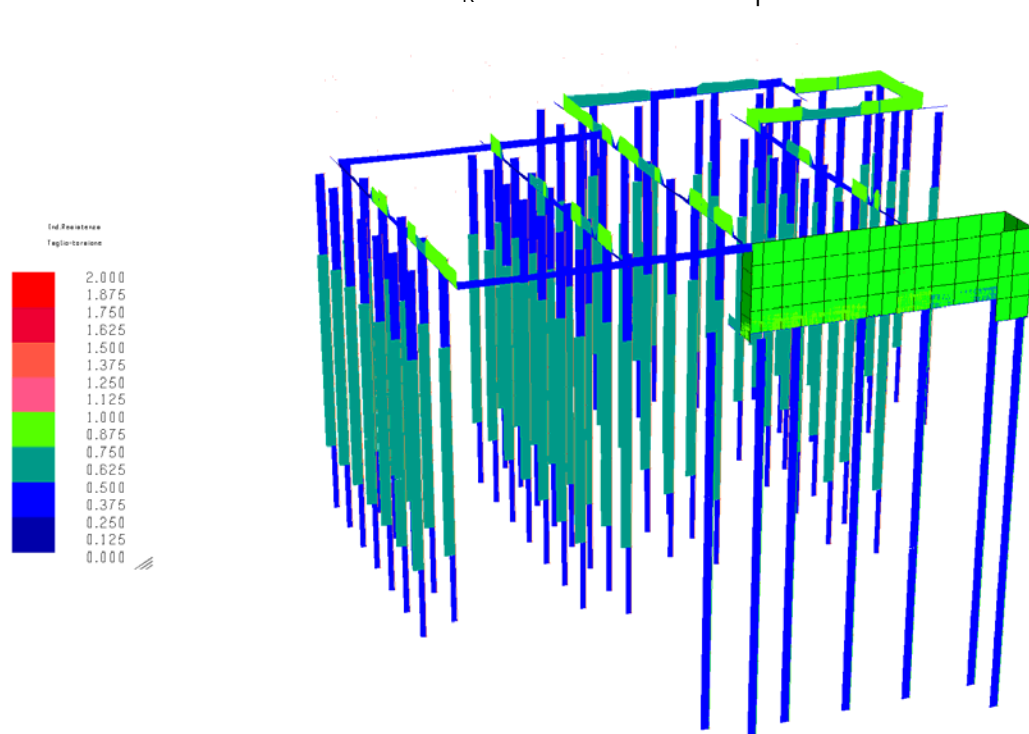
CORPO 3: indici di resistenza slv pressoflessione meccanismi fragili ($q=1.5$) analisi dinamica lineare
 T_R 949 anni: fondazione e pali



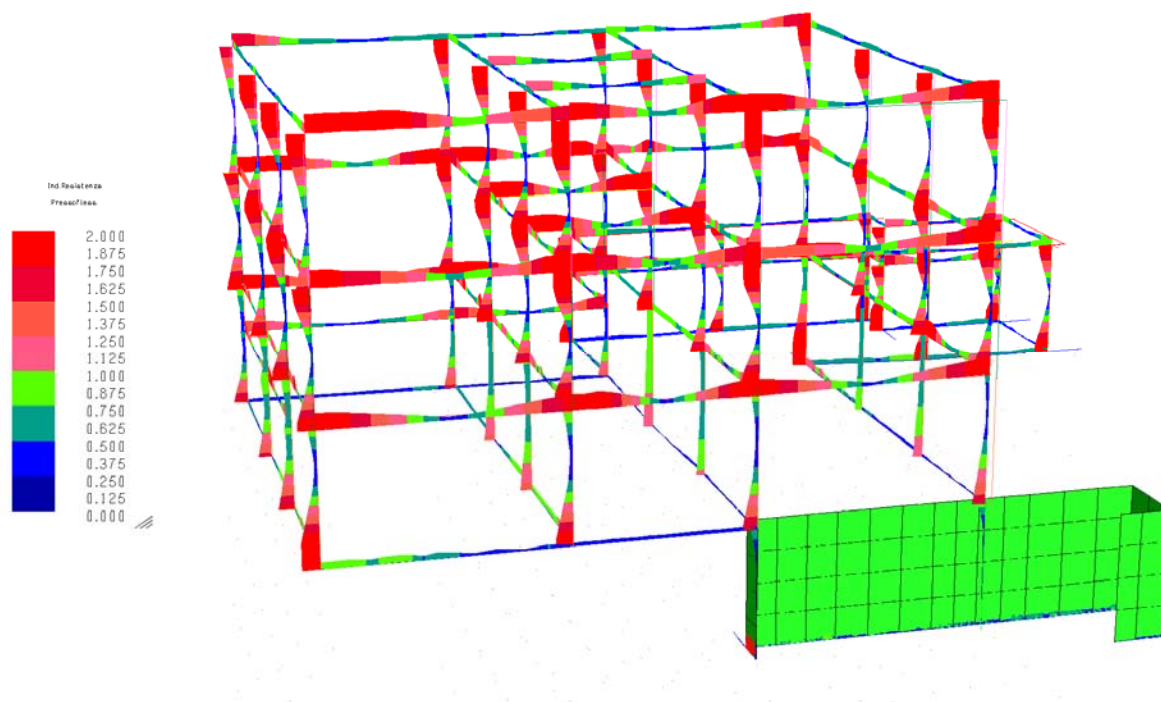
CORPO 3: indici di resistenza slv taglio-torsione meccanismi duttili ($q=3.0$) analisi dinamica lineare
 T_R 949 anni: fondazione e pali



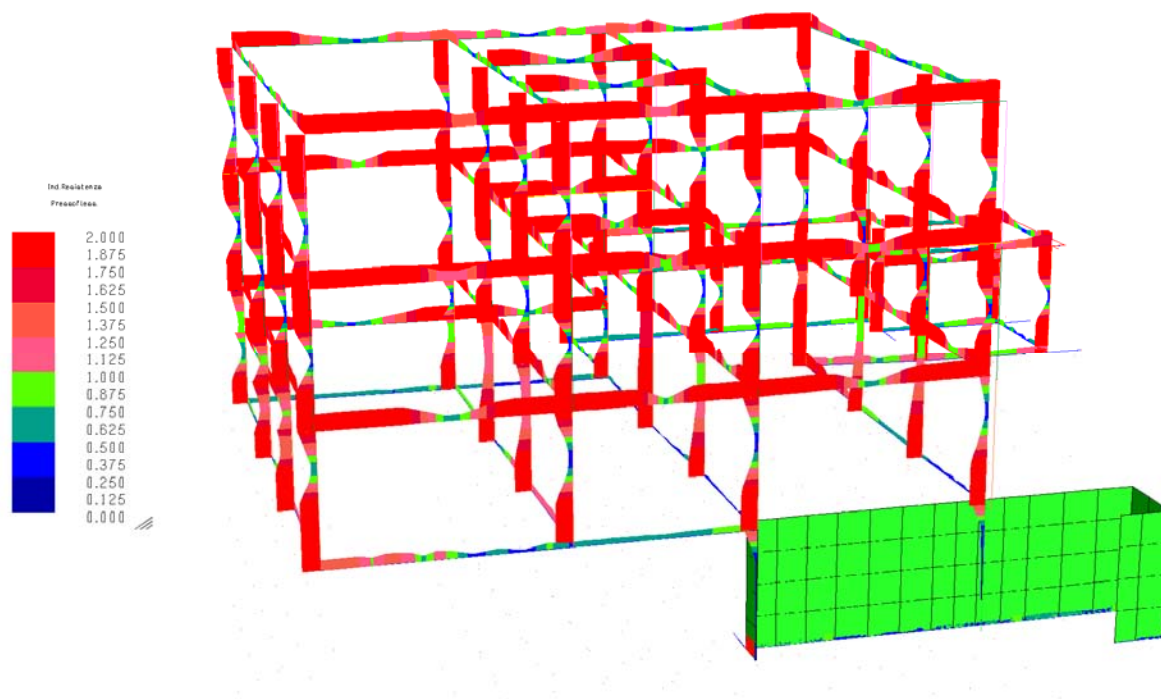
CORPO 3: indici di resistenza slv taglio-torsione meccanismi fragili ($q=1.5$) analisi dinamica lineare
 T_R 949 anni: fondazione e pali



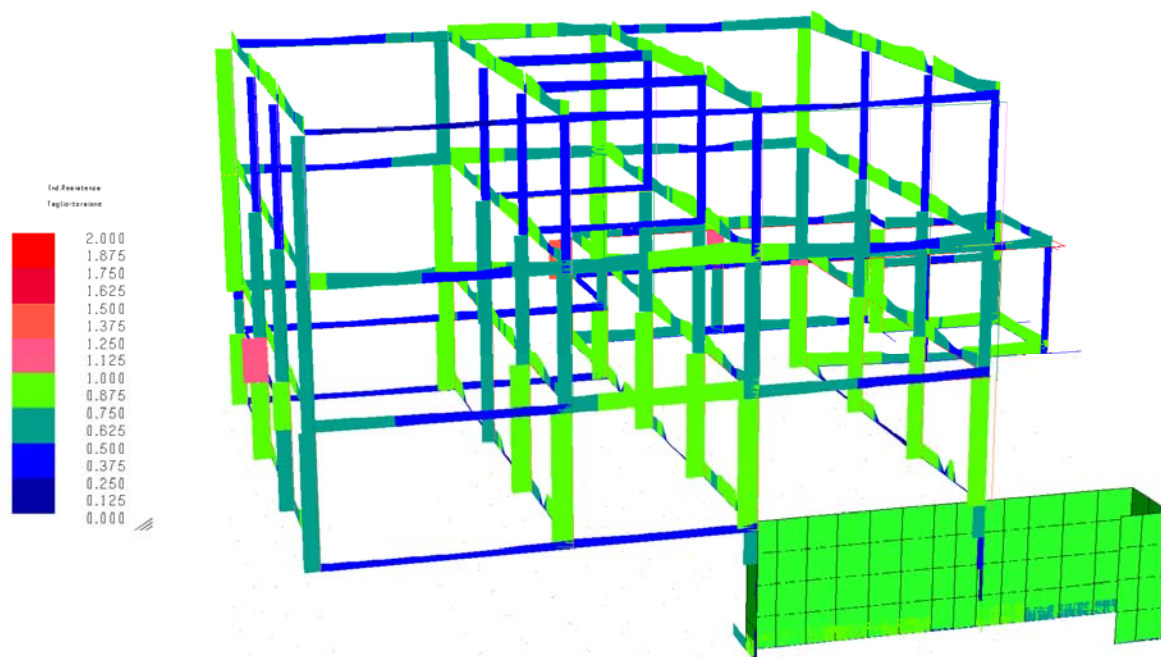
CORPO 3: indici di resistenza slv pressoflessione meccanismi duttili ($q=3.0$) analisi dinamica lineare
 T_R 949 anni: elevazione



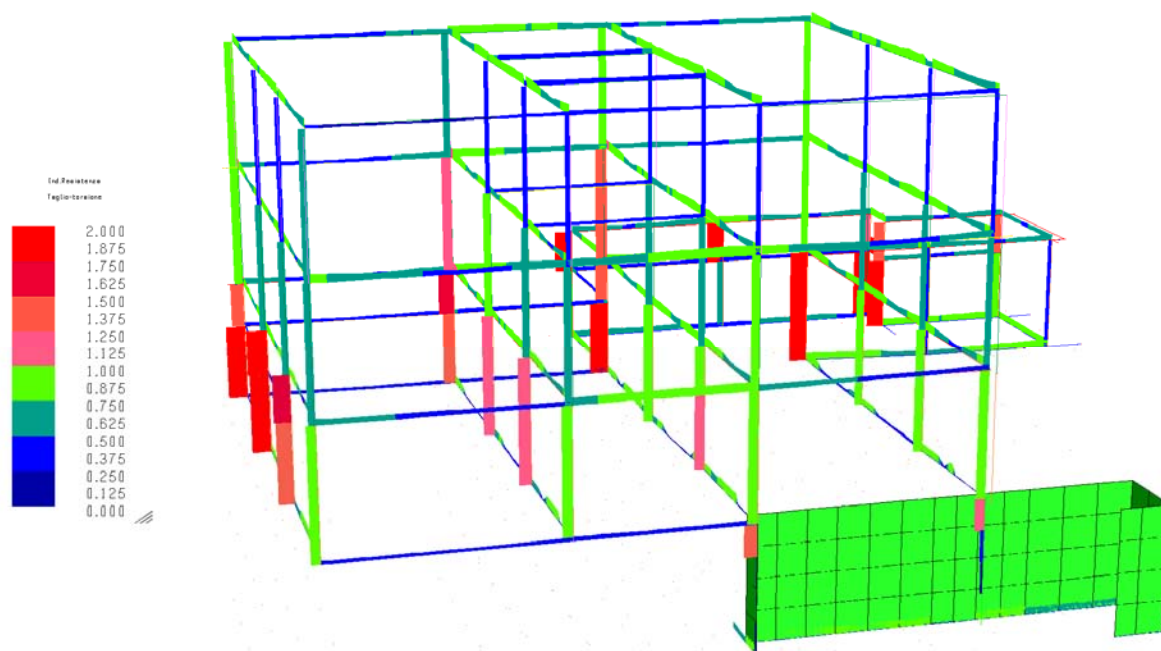
CORPO 3: indici di resistenza slv pressoflessione meccanismi fragili ($q=1.5$) analisi dinamica lineare
 T_R 949 anni: elevazione



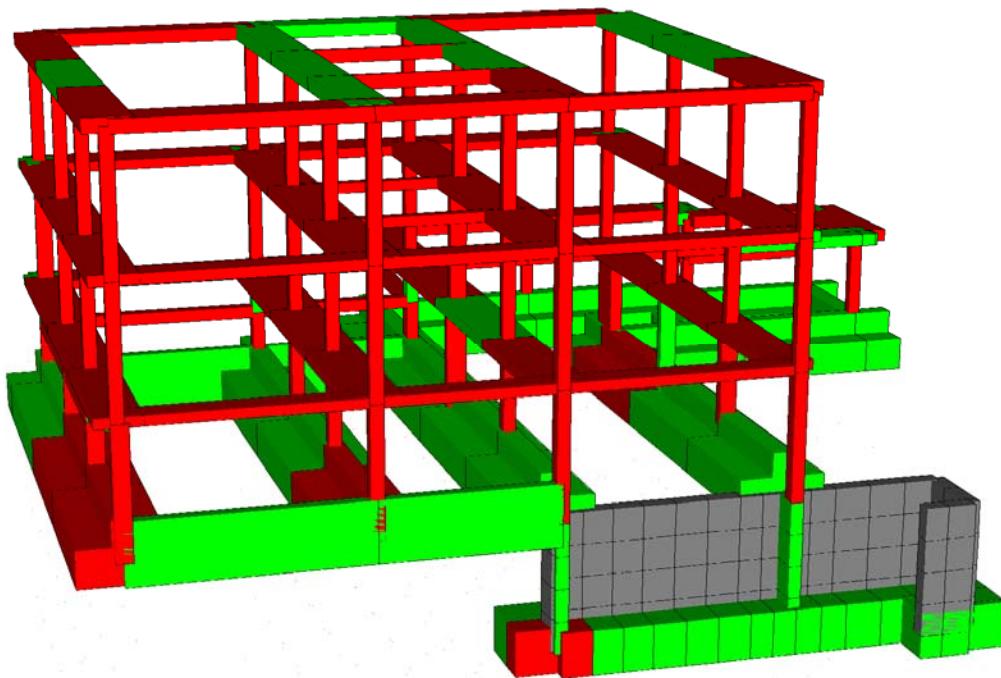
CORPO 3: indici di resistenza slv taglio-torsione meccanismi duttili ($q=3.0$) analisi dinamica lineare
 T_R 949 anni: elevazione



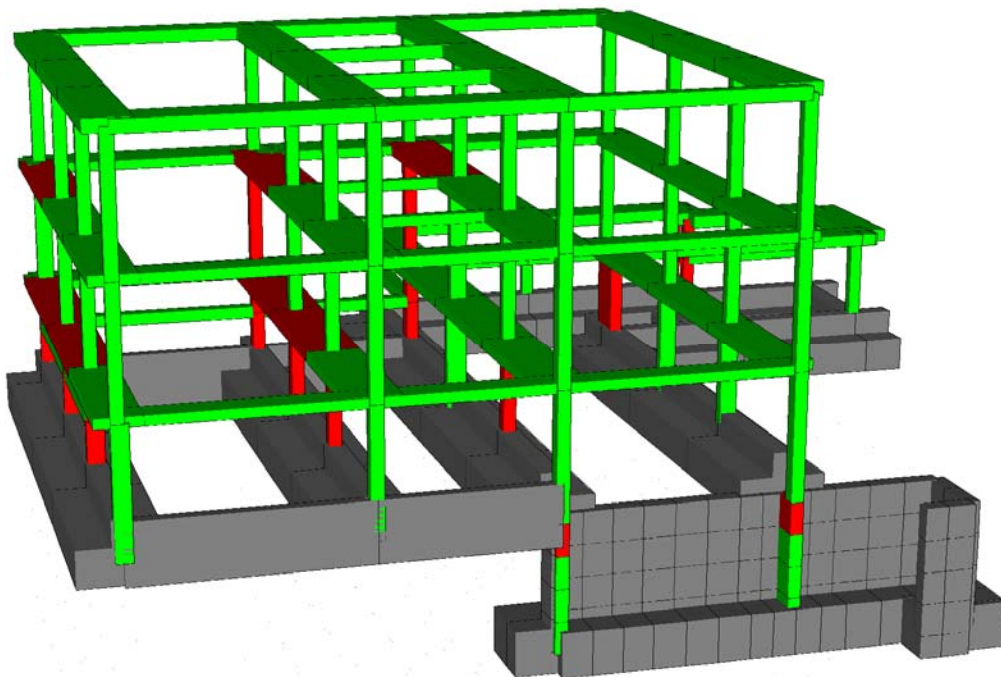
CORPO 3: indici di resistenza slv taglio-torsione meccanismi fragili ($q=1.5$) analisi dinamica lineare
 T_R 949 anni: elevazione



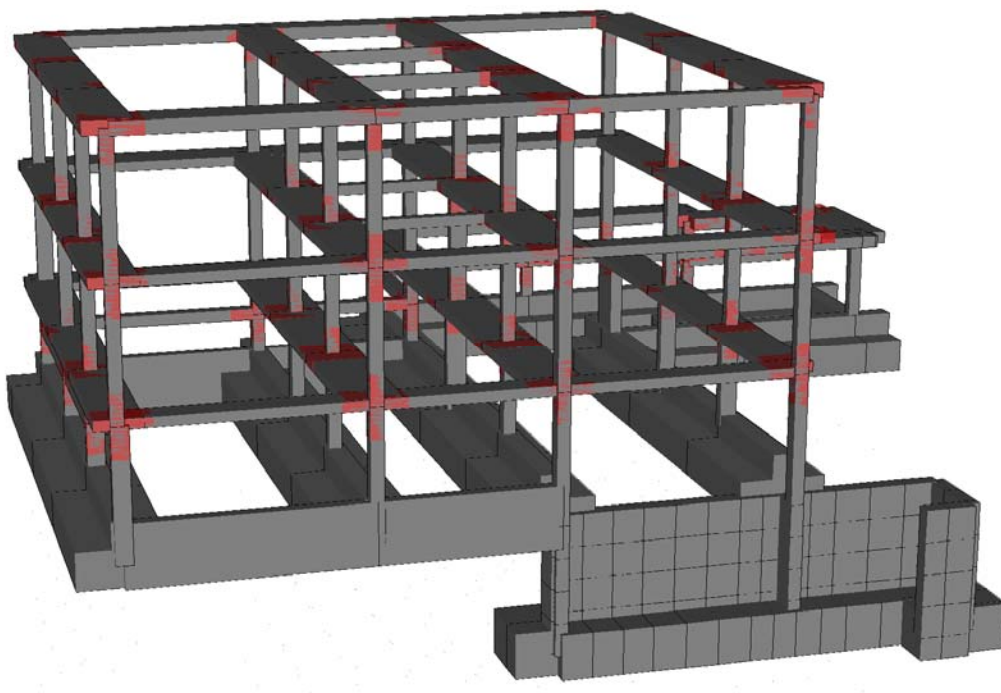
CORPO 3: elementi in rosso non verificati ai meccanismi duttili ($q=3.0$) analisi dinamica lineare
 T_R 949 anni: elevazione



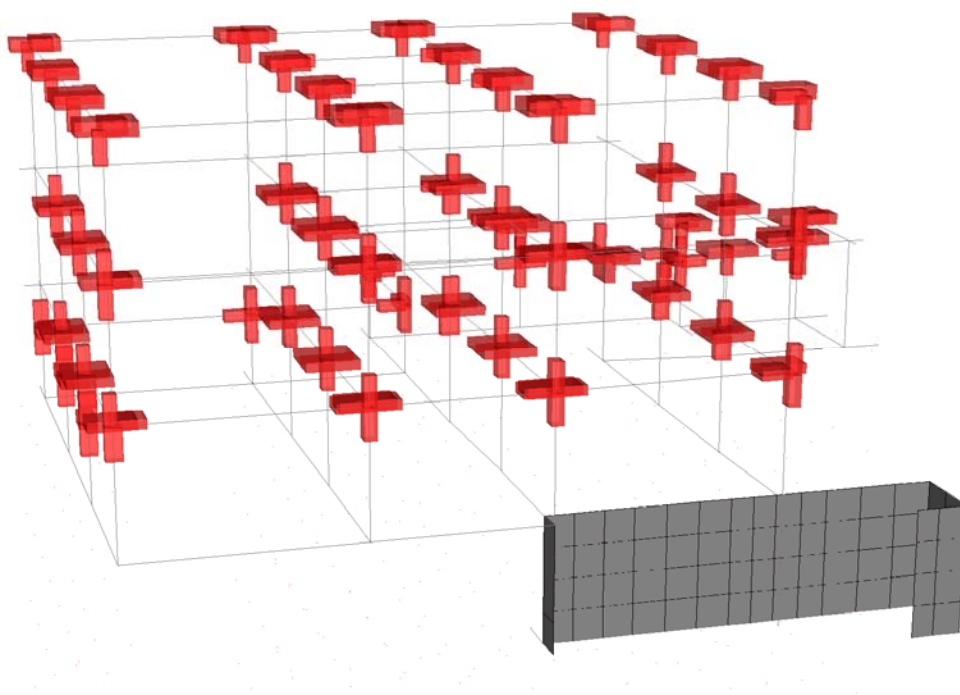
CORPO 3: elementi in rosso non verificati ai meccanismi fragili ($q=1.5$) analisi dinamica lineare
 T_R 949 anni: elevazione



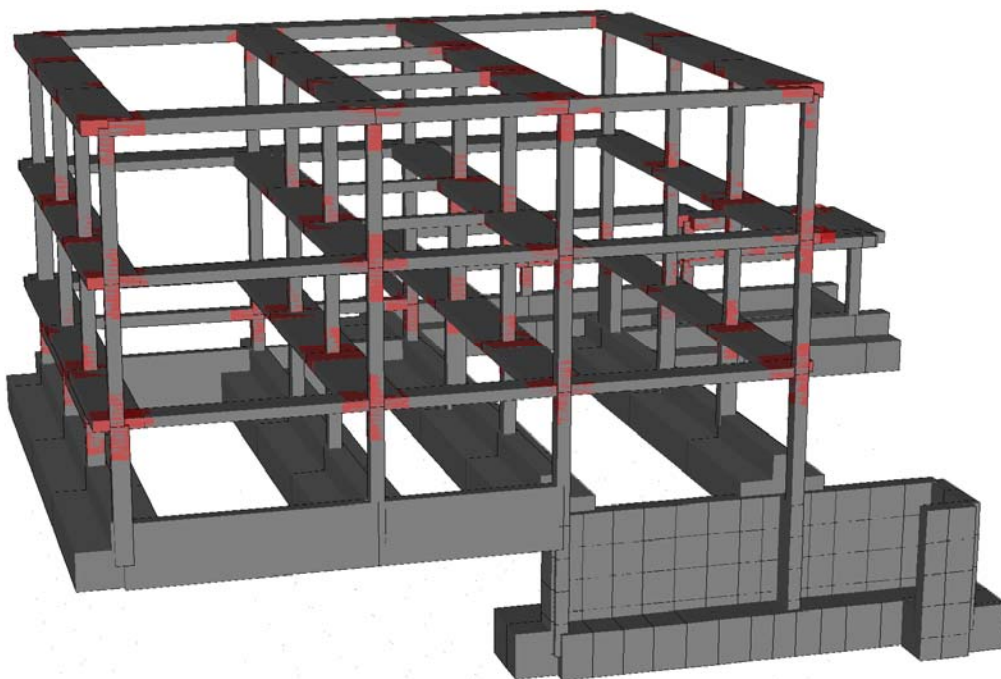
CORPO 3: nodi non verificati in rosso ($q=3.0$) modello tridimensionale T_R 949 anni



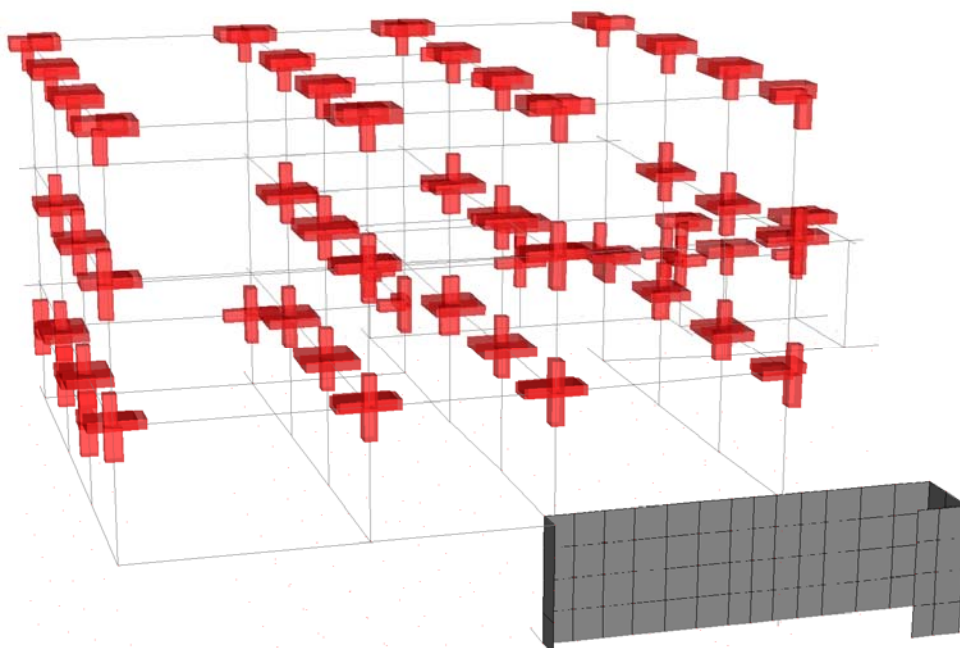
CORPO 3: nodi non verificati in rosso ($q=3.0$) schema unifilare T_R 949 anni



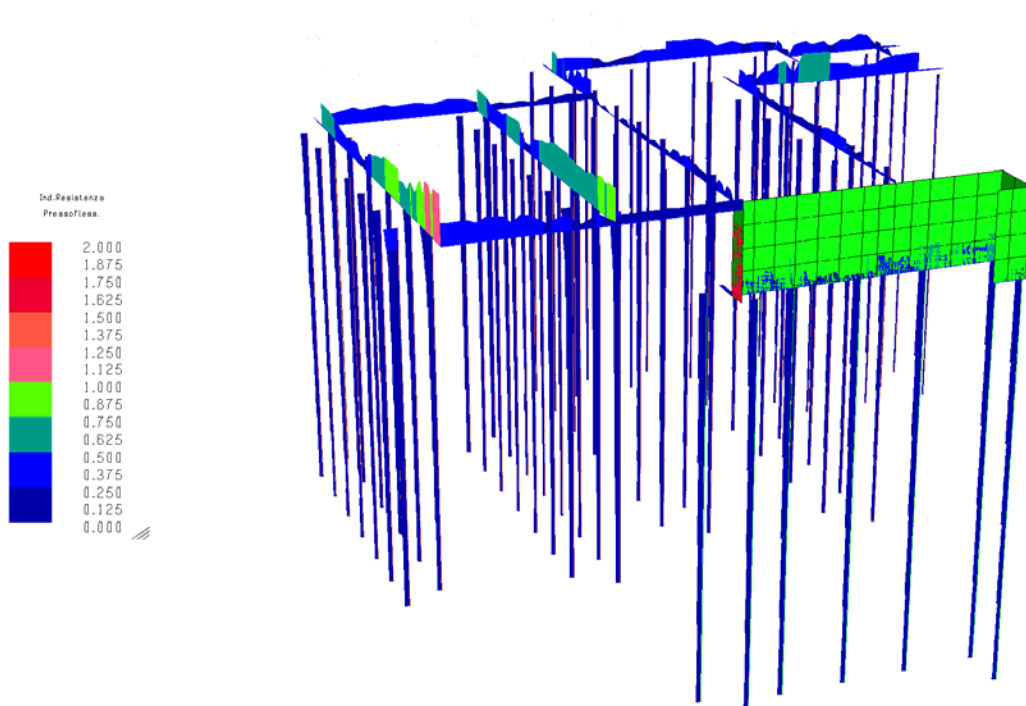
CORPO 3: nodi non verificati in rosso ($q=1.5$) modello tridimensionale T_R 949 anni



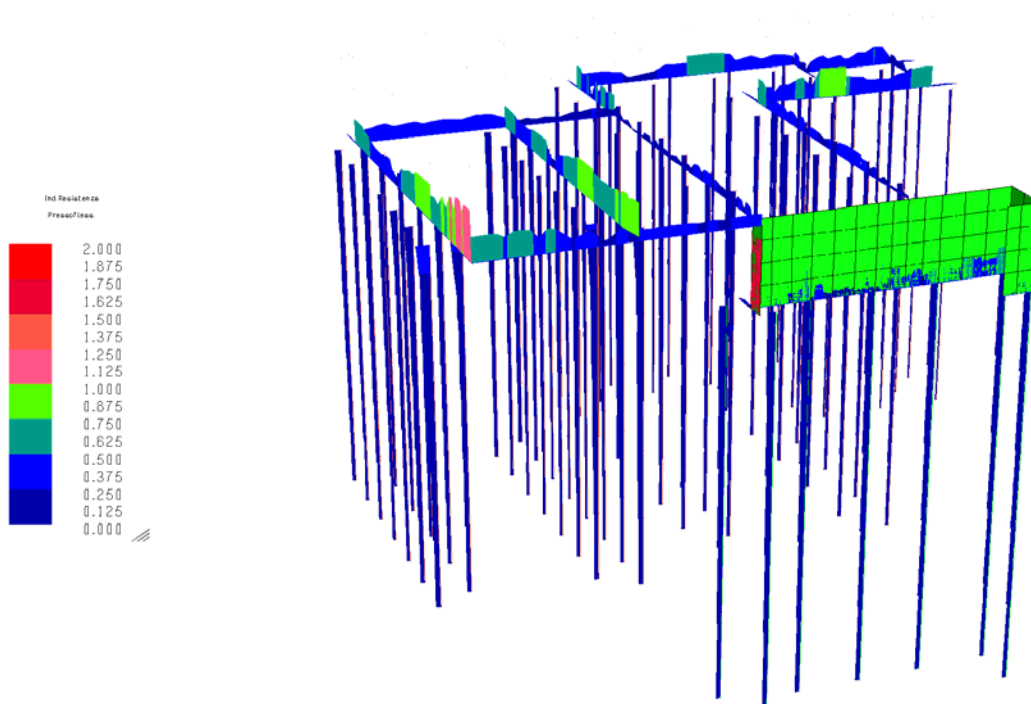
CORPO 3: nodi non verificati in rosso ($q=1.5$) schema unifilare T_R 949 anni



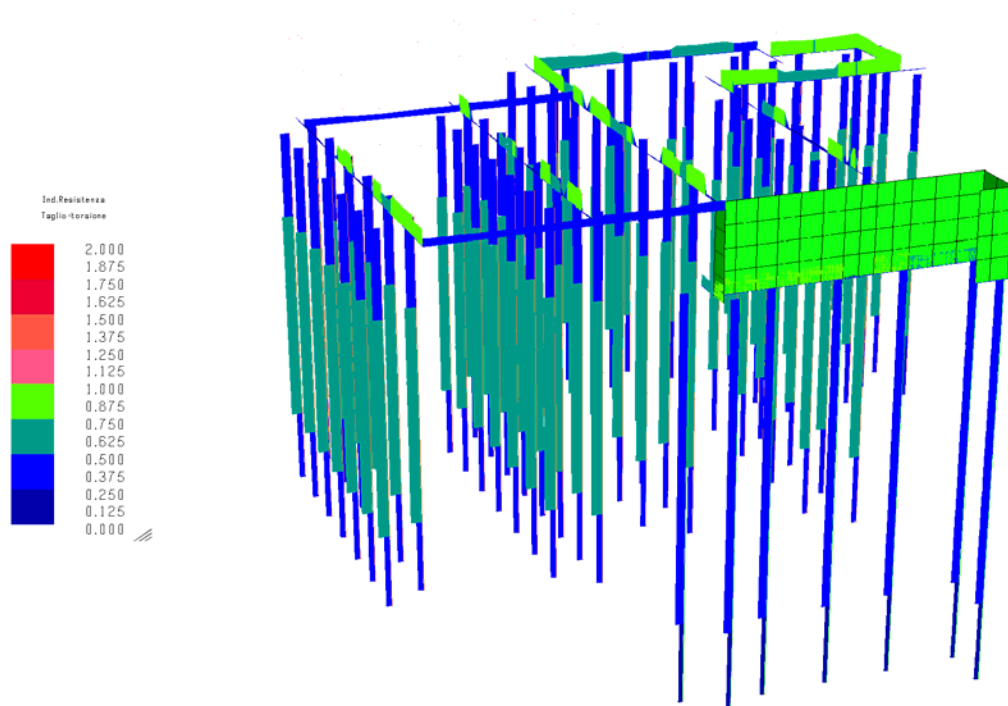
CORPO 3: indici di resistenza slv pressoflessione meccanismi duttili ($q=3.0$) analisi dinamica lineare
 T_R 30 anni: fondazione e pali



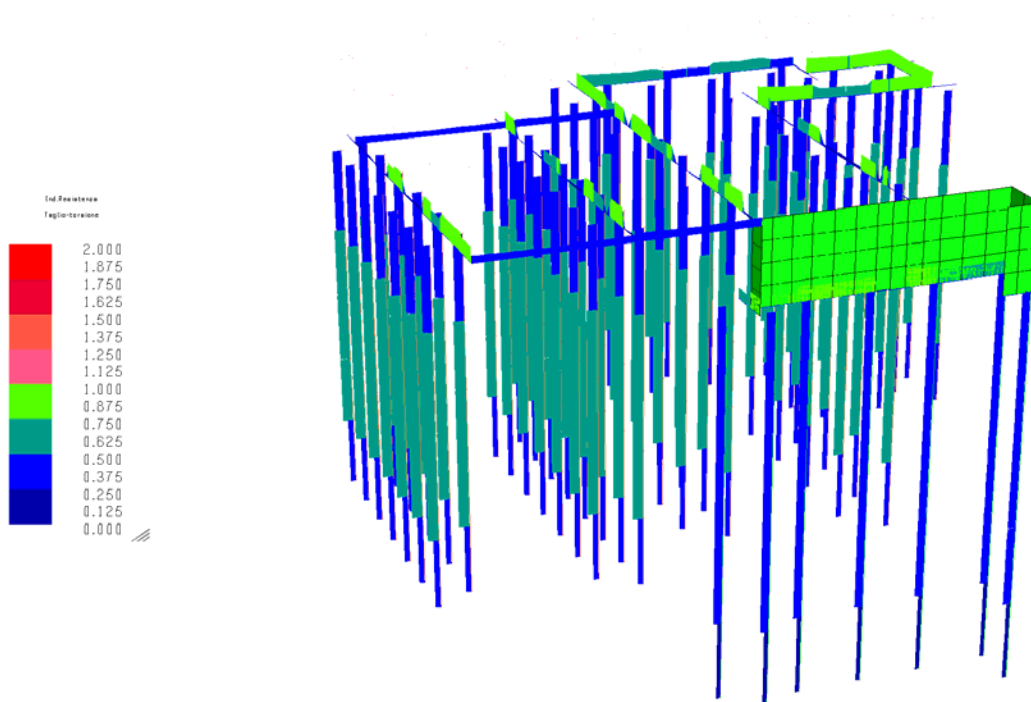
CORPO 3: indici di resistenza slv pressoflessione meccanismi fragili ($q=1.5$) analisi dinamica lineare
 T_R 30 anni: fondazione e pali



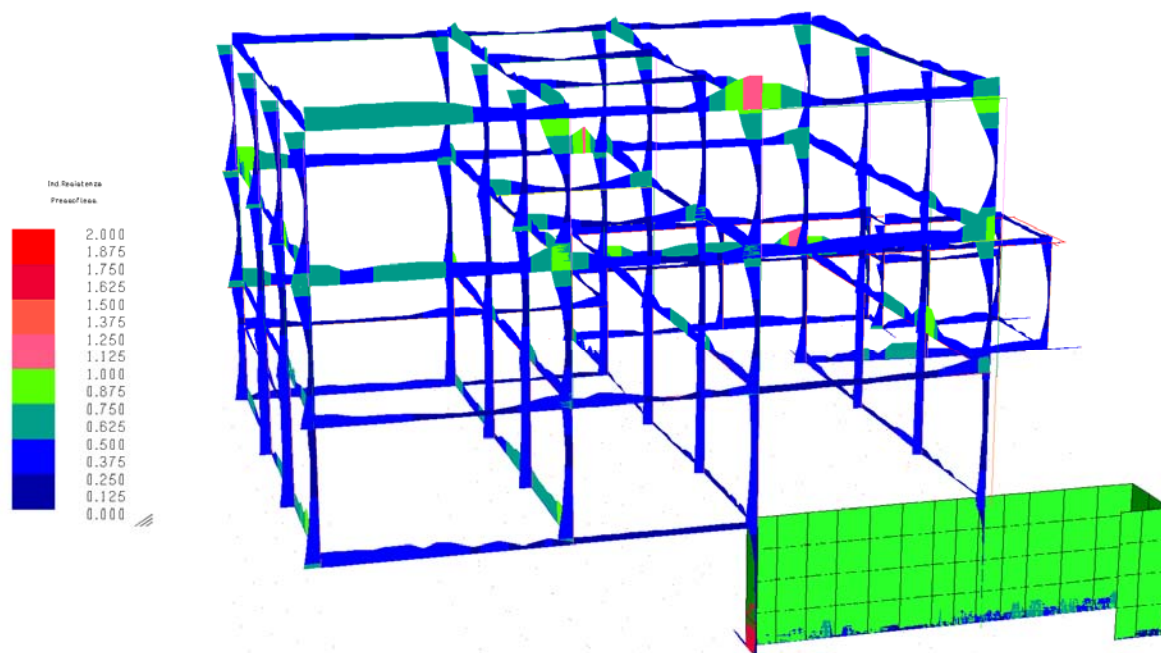
CORPO 3: indici di resistenza slv taglio-torsione meccanismi duttili ($q=3.0$) analisi dinamica lineare
 T_R 30 anni: fondazione e pali



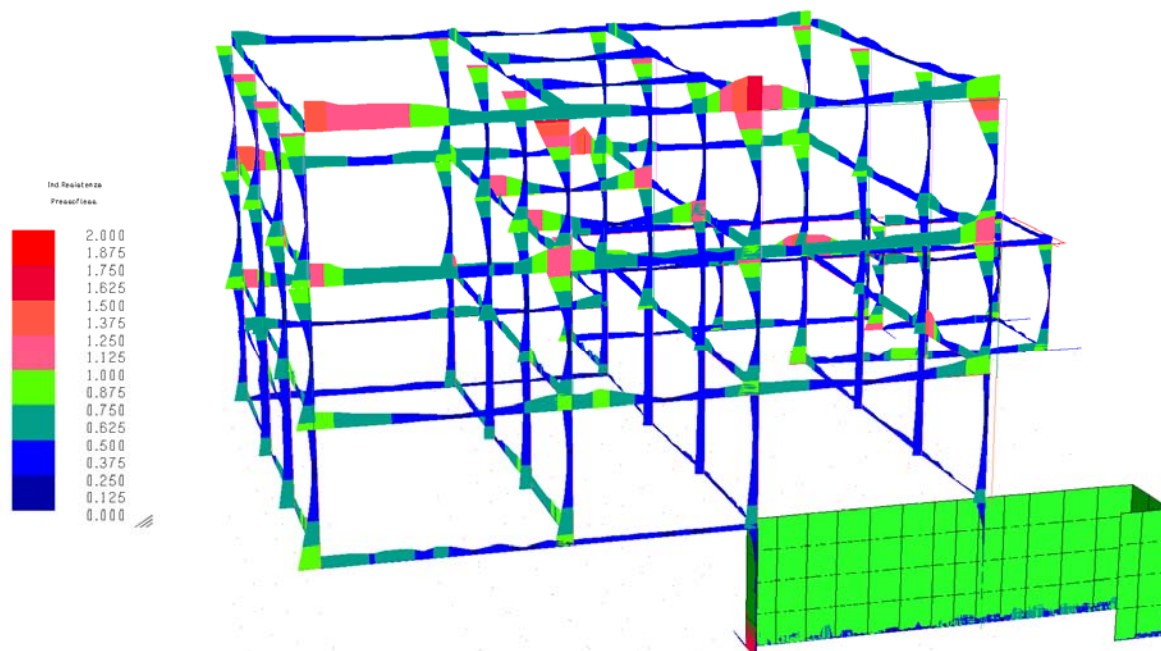
CORPO 3: indici di resistenza slv taglio-torsione meccanismi fragili ($q=1.5$) analisi dinamica lineare
 T_R 30 anni: fondazione e pali



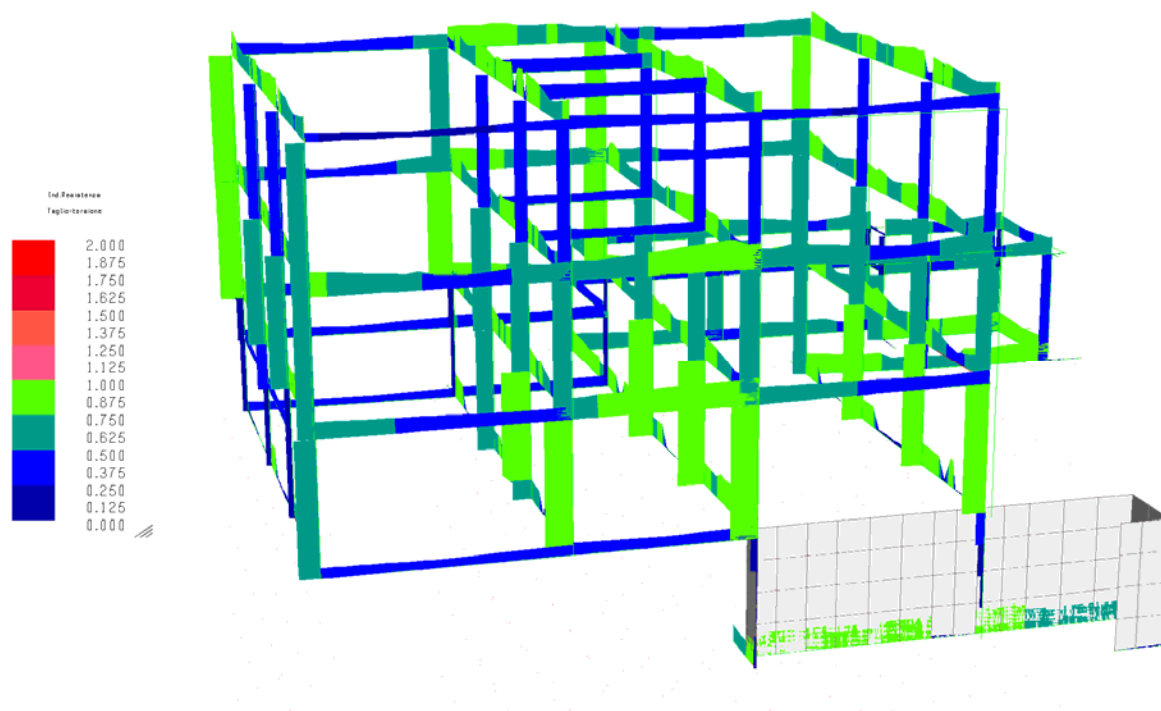
CORPO 3: indici di resistenza slv pressoflessione meccanismi duttili ($q=3.0$) analisi dinamica lineare
 T_R 30 anni: elevazione



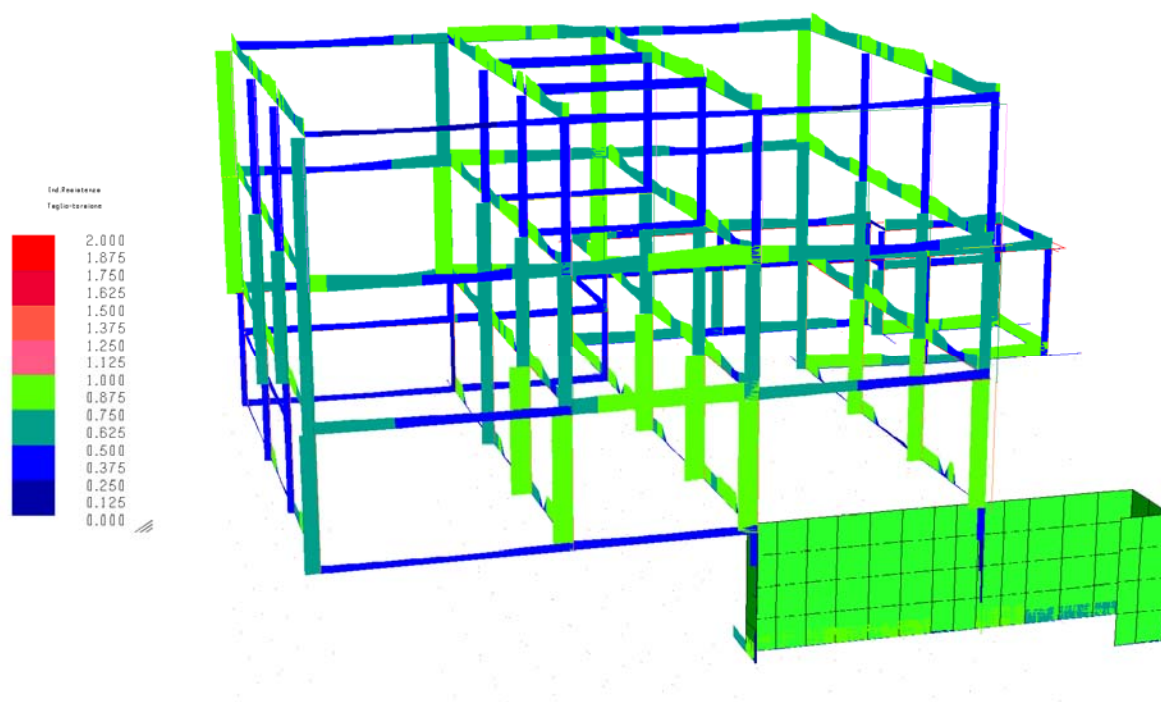
CORPO 3: indici di resistenza slv pressoflessione meccanismi fragili ($q=1.5$) analisi dinamica lineare
 T_R 30 anni: elevazione



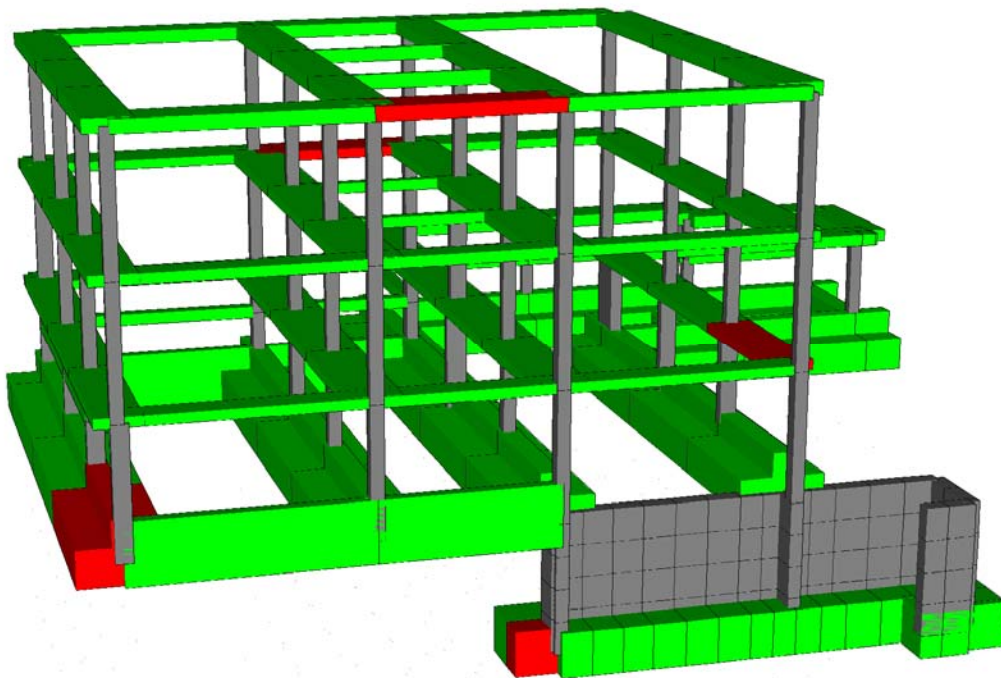
CORPO 3: indici di resistenza slv taglio-torsione meccanismi duttili ($q=3.0$) analisi dinamica lineare
 T_R 30 anni: elevazione



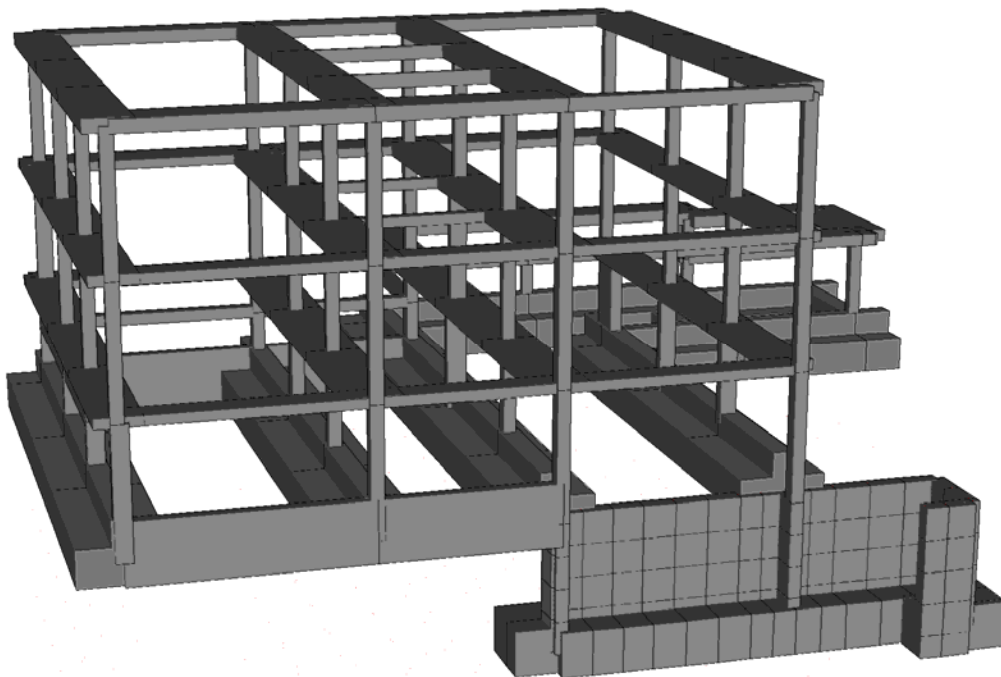
CORPO 3: indici di resistenza slv taglio-torsione meccanismi fragili ($q=1.5$) analisi dinamica lineare
 T_R 30 anni: elevazione



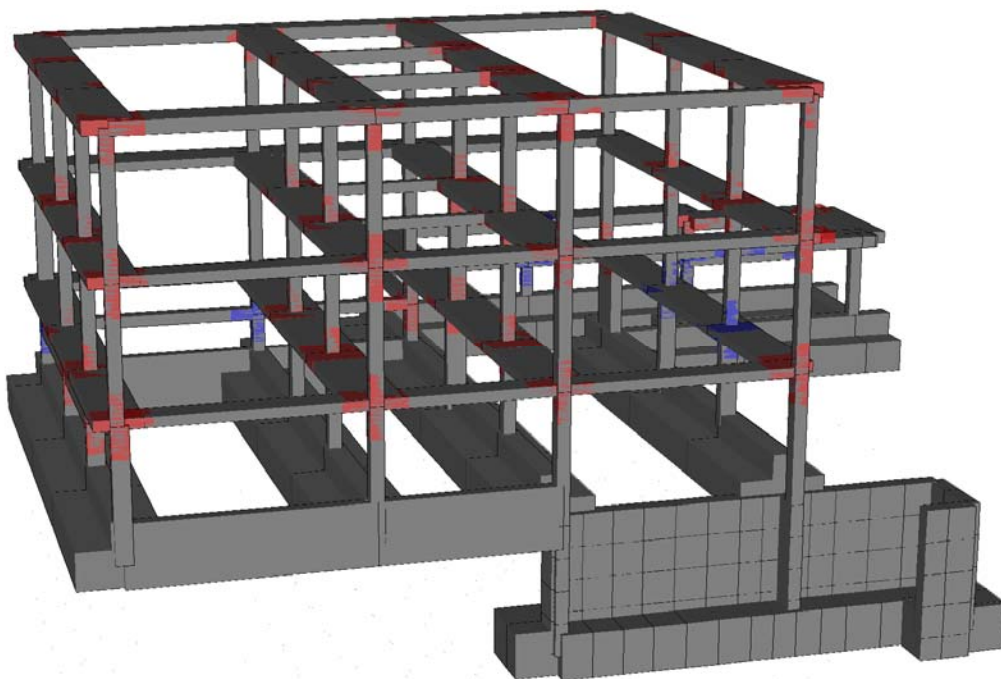
CORPO 3: elementi in rosso non verificati ai meccanismi duttili ($q=3.0$) analisi dinamica lineare
 T_R 30 anni: elevazione



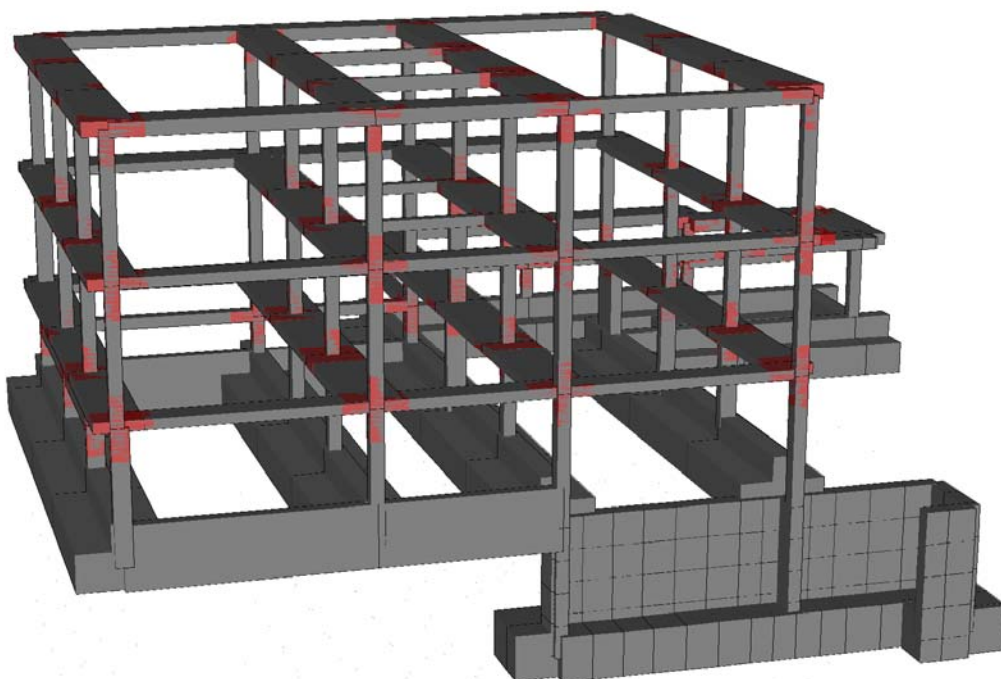
CORPO 3: elementi in rosso non verificati ai meccanismi fragili ($q=1.5$) analisi dinamica lineare
 T_R 30 anni: elevazione



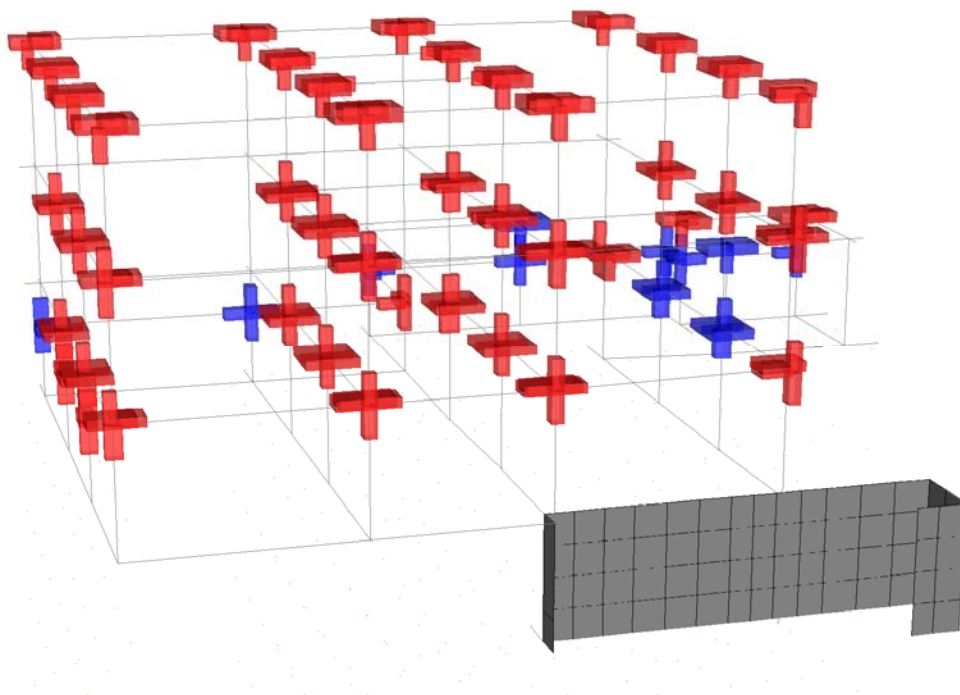
CORPO 3: nodi non verificati in rosso ($q=3.0$) modello tridimensionale T_R 30 anni



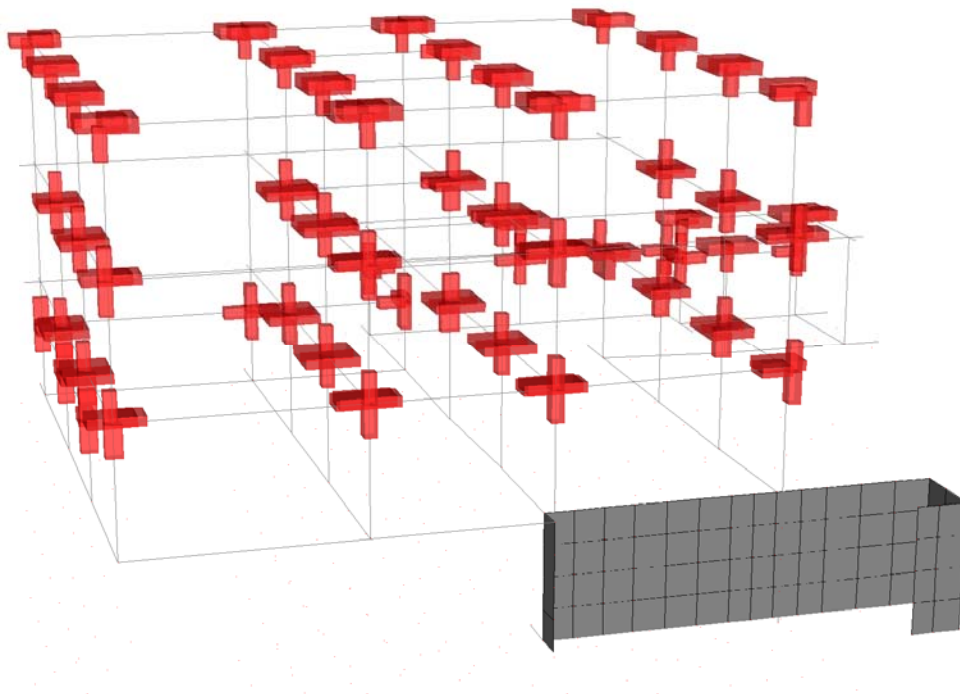
CORPO 3: nodi non verificati in rosso ($q=1.5$) modello tridimensionale T_R 30 anni



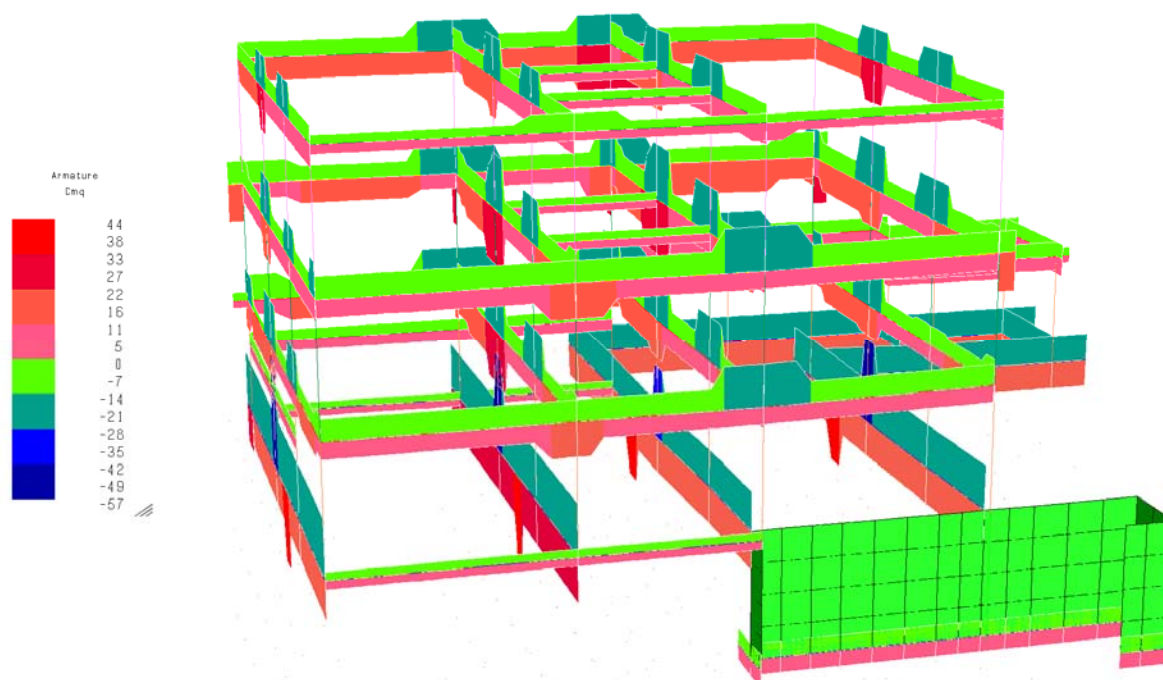
CORPO 3: nodi non verificati in rosso ($q=3.0$) schema unifilare T_R 30 anni



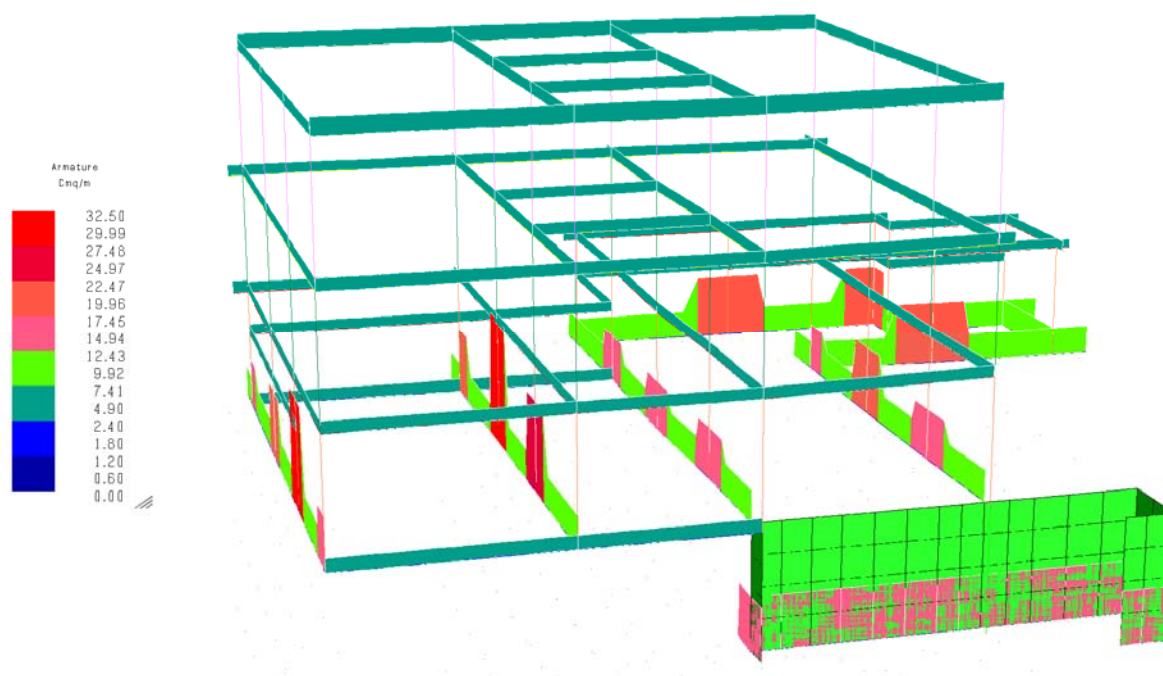
CORPO 3: nodi non verificati in rosso ($q=1.5$) schema unifilare T_R 30 anni



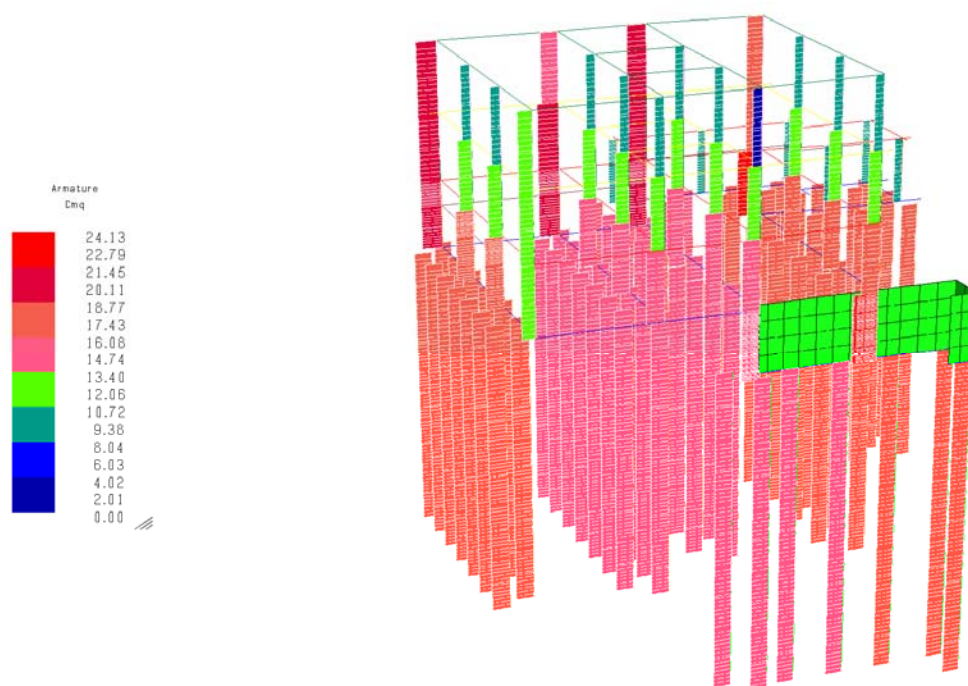
CORPO 3: armatura esistente inferiore e superiore travi in elevazione



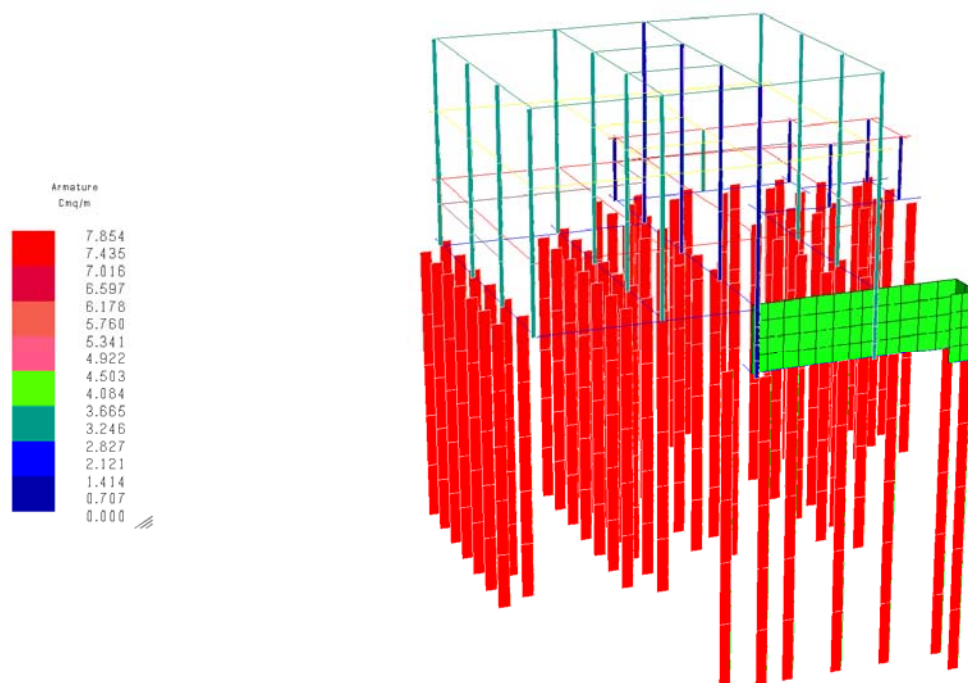
CORPO 3: armatura trasversale esistente travi in elevazione



CORPO 3: armatura longitudinale esistente pilastri e pali



CORPO 3: armatura trasversale esistente pilastri e pali



CORPO 3: valutazione del baricentro delle rigidità e del baricentro delle masse

